

# O jednom geodetickém problému

**Jaroslav Marek**

**Lubomír Kubáček**

**Univerzita Palackého**

**Přírodovědecká fakulta**

**Katedra matematické analýzy**

**a aplikací matematiky**

**Tř. 17. listopadu 12**

**779 00 Olomouc**

**marek@inf.upol.cz**

**Králíky**

*přednáška Robust 2010*

**5. 1. 2010**

# Exkurze do vyrovnávacího počtu

## *Pojmy v metrologii*

- 1. etapa měření (připojovací), ozn.  $\Theta$   
— nejistota typu B
- 2. etapa měření (připojované), ozn.  $\beta$   
— nejistota typu A
- konfidenční elipsa

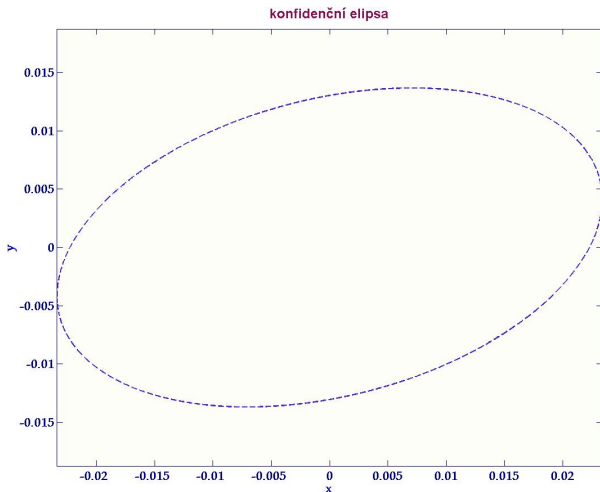
# Exkurze do vyrovnávacího počtu

$(1 - \alpha)$ -konfidenční oblast parametru  $\beta$ ,  $\beta \in \underline{\Theta}_\beta$ , založená na standardním odhadu BLUE  $\hat{\beta}$ , je množina

$$\mathcal{E}_{1-\alpha}(\beta) = \left\{ \mathbf{b} : \mathbf{b} \in \underline{\Theta}_\beta \subset \mathbb{R}^{k_2}, (\mathbf{b} - \hat{\beta})' [\text{Var}(\hat{\beta})]^{-1} (\mathbf{b} - \hat{\beta}) \leq \leq \chi_{k_2 - q + r(\mathbf{C})}^2(1 - \alpha) \right\} .$$

Symbol  $\chi_{k_2 - q + r(\mathbf{C})}^2(1 - \alpha)$  znamená  $(1 - \alpha)$ -kvantil  $\chi^2$ -rozdělení o  $k_2 - q + r(\mathbf{C})$  stupních volnosti.

# Exkurze do vyrovnávacího počtu



## Exkurze do vyrovnávacího počtu

Modelem připojovacího měření budeme nazývat náhodný vektor  $\mathbf{Y} = (\mathbf{Y}'_1, \mathbf{Y}'_2)$ , jehož střední hodnota a kovarianční matice má následující strukturu:

$$\begin{pmatrix} \mathbf{Y}_1 \\ \mathbf{Y}_2 \end{pmatrix} \sim \left[ \begin{pmatrix} \mathbf{X}_1 & \mathbf{0} \\ \mathbf{D} & \mathbf{X}_2 \end{pmatrix} \begin{pmatrix} \boldsymbol{\Theta} \\ \boldsymbol{\beta} \end{pmatrix}, \begin{pmatrix} \boldsymbol{\Sigma}_{11} & \mathbf{0} \\ \mathbf{0} & \boldsymbol{\Sigma}_{22} \end{pmatrix} \right], \quad (1)$$

kde  $\mathbf{X}_1, \mathbf{D}, \mathbf{X}_2$  jsou známé matice typu  $n_1 \times k_1, n_2 \times k_1, n_2 \times k_2$ , vyhovující podmínce  $\mathcal{M}(\mathbf{D}') \subset \mathcal{M}(\mathbf{X}'_1)$ ;  $\boldsymbol{\Theta}, \boldsymbol{\beta}$  jsou neznámé  $k_1$  a  $k_2$  dimenzionální vektory;  $\boldsymbol{\Sigma}_{11}$  a  $\boldsymbol{\Sigma}_{22}$  jsou známé kovarianční matice vektorů  $\mathbf{Y}_1$  a  $\mathbf{Y}_2$ .

Odhady musí splnit podmínku

$$\mathbf{a} + \mathbf{B}\boldsymbol{\beta} + \mathbf{C}\boldsymbol{\Theta} = \mathbf{0}. \quad (2)$$

# Odhady v modelu připojovacího měření

$$\begin{aligned} \begin{pmatrix} \hat{\Theta} \\ \hat{\beta} \end{pmatrix} &= \left( \begin{pmatrix} \mathbf{I} & \mathbf{0} \\ \mathbf{0} & \mathbf{I} \end{pmatrix} - \left[ \begin{pmatrix} \mathbf{I} & \mathbf{D}' \\ \mathbf{0} & \mathbf{X}'_2 \end{pmatrix} \begin{pmatrix} \mathbf{V}^{-1} & \mathbf{0} \\ \mathbf{0} & \Sigma^{-1} \end{pmatrix} \begin{pmatrix} \mathbf{I} & \mathbf{0} \\ \mathbf{D} & \mathbf{X}_2 \end{pmatrix} \right]^{-1} \times \\ &\quad \times \begin{pmatrix} \mathbf{C}' \\ \mathbf{B}' \end{pmatrix} \left\{ (\mathbf{C}, \mathbf{B}) \left[ \begin{pmatrix} \mathbf{I} & \mathbf{D}' \\ \mathbf{0} & \mathbf{X}'_2 \end{pmatrix} \begin{pmatrix} \mathbf{V}^{-1} & \mathbf{0} \\ \mathbf{0} & \Sigma^{-1} \end{pmatrix} \begin{pmatrix} \mathbf{I} & \mathbf{0} \\ \mathbf{D} & \mathbf{X}_2 \end{pmatrix} \right]^{-1} \times \right. \\ &\quad \times \left. \begin{pmatrix} \mathbf{C}' \\ \mathbf{B}' \end{pmatrix} \right\}^{-1} (\mathbf{C}, \mathbf{B}) \left[ \begin{pmatrix} \mathbf{I} & \mathbf{D}' \\ \mathbf{0} & \mathbf{X}'_2 \end{pmatrix} \begin{pmatrix} \mathbf{V}^{-1} & \mathbf{0} \\ \mathbf{0} & \Sigma^{-1} \end{pmatrix} \begin{pmatrix} \mathbf{I} & \mathbf{0} \\ \mathbf{D} & \mathbf{X}_2 \end{pmatrix} \right]^{-1} \times \\ &\quad \times \begin{pmatrix} \mathbf{I} & \mathbf{D}' \\ \mathbf{0} & \mathbf{X}'_2 \end{pmatrix} \begin{pmatrix} \mathbf{V}^{-1} & \mathbf{0} \\ \mathbf{0} & \Sigma^{-1} \end{pmatrix} \begin{pmatrix} \hat{\Theta} \\ \mathbf{Y} \end{pmatrix} - \\ &\quad - \left[ \begin{pmatrix} \mathbf{I} & \mathbf{D}' \\ \mathbf{0} & \mathbf{X}'_2 \end{pmatrix} \begin{pmatrix} \mathbf{V}^{-1} & \mathbf{0} \\ \mathbf{0} & \Sigma^{-1} \end{pmatrix} \begin{pmatrix} \mathbf{I} & \mathbf{0} \\ \mathbf{D} & \mathbf{X}_2 \end{pmatrix} \right]^{-1} \begin{pmatrix} \mathbf{C}' \\ \mathbf{B}' \end{pmatrix} \times \\ &\quad \times \left\{ (\mathbf{C}, \mathbf{B}) \left[ \begin{pmatrix} \mathbf{I} & \mathbf{D}' \\ \mathbf{0} & \mathbf{X}'_2 \end{pmatrix} \begin{pmatrix} \mathbf{V}^{-1} & \mathbf{0} \\ \mathbf{0} & \Sigma^{-1} \end{pmatrix} \begin{pmatrix} \mathbf{I} & \mathbf{0} \\ \mathbf{D} & \mathbf{X}_2 \end{pmatrix} \right]^{-1} \begin{pmatrix} \mathbf{C}' \\ \mathbf{B}' \end{pmatrix} \right\}^{-1} \mathbf{a}. \end{aligned}$$

## Odhady v modelu připojovacího měření

$$\begin{aligned} \begin{pmatrix} \hat{\Theta} \\ \hat{\beta}_1 \end{pmatrix} &= \left[ \begin{pmatrix} \mathbf{I}, & \mathbf{D}' - \mathbf{C}'(\mathbf{B}_2^{-1})'\mathbf{X}'_{2,2} \\ \mathbf{0}, & \mathbf{X}'_{2,1} - \mathbf{B}'_1(\mathbf{B}_2^{-1})'\mathbf{X}'_{2,2} \end{pmatrix} \begin{pmatrix} \mathbf{V}^{-1}, & \mathbf{0} \\ \mathbf{0}, & \Sigma^{-1} \end{pmatrix} \right] \times \\ &\quad \times \begin{pmatrix} \mathbf{I}, & \mathbf{0} \\ \mathbf{D} - \mathbf{X}_{2,2}\mathbf{B}_2^{-1}\mathbf{C}, & \mathbf{X}_{2,1} - \mathbf{X}_{2,2}\mathbf{B}_2^{-1}\mathbf{B}_1 \end{pmatrix} \Big]^{-1} \times \\ &\quad \times \begin{pmatrix} \mathbf{I}, & \mathbf{D}' - \mathbf{C}'(\mathbf{B}_2^{-1})'\mathbf{X}'_{2,2} \\ \mathbf{0}, & \mathbf{X}'_{2,1} - \mathbf{B}'_1(\mathbf{B}_2^{-1})'\mathbf{X}'_{2,2} \end{pmatrix} \begin{pmatrix} \mathbf{V}^{-1}, & \mathbf{0} \\ \mathbf{0}, & \Sigma^{-1} \end{pmatrix} \begin{pmatrix} \hat{\Theta} \\ \mathbf{Y} + \mathbf{X}_{2,2}\mathbf{B}_2^{-1}\mathbf{a} \end{pmatrix}, \\ &\quad \hat{\beta}_2 = -\mathbf{B}_2^{-1}(\mathbf{B}_1\hat{\beta}_1 + \mathbf{C}\hat{\Theta} + \mathbf{a}). \end{aligned}$$

## Odhady v modelu připojovacího měření

$$\begin{aligned}\hat{\beta}_1 = & \left\{ (\mathbf{X}_{2,1} - \mathbf{X}_{2,2}\mathbf{B}_2^{-1}\mathbf{B}_1)' [\boldsymbol{\Sigma} + (\mathbf{D} - \mathbf{X}_{2,1}\mathbf{B}_2^{-1}\mathbf{C})\mathbf{V}(\mathbf{D} - \mathbf{X}_{2,2}\mathbf{B}_2^{-1}\mathbf{C})'] \right\}^{-1} \times \\ & \times (\mathbf{X}_{2,1} - \mathbf{X}_{2,2}\mathbf{B}_2^{-1}\mathbf{B}_1)' \times \\ & \times [\boldsymbol{\Sigma} + (\mathbf{D} - \mathbf{X}_{2,2}\mathbf{B}_2^{-1}\mathbf{C})\mathbf{V}(\mathbf{D} - \mathbf{X}_{2,2}\mathbf{B}_2^{-1}\mathbf{C})']^{-1} \times \\ & \times [\mathbf{Y} + \mathbf{X}_{2,2}\mathbf{B}_2^{-1}\mathbf{a} - (\mathbf{D} - \mathbf{X}_{2,2}\mathbf{B}_2^{-1}\mathbf{C})\hat{\boldsymbol{\theta}}].\end{aligned}$$



# Odhady v modelu připojovacího měření

Předchozí tři odhady jsou shodné a splňují podmínky

$$\mathbf{a} + \mathbf{C}\hat{\Theta} + \mathbf{B}\hat{\beta} = \mathbf{0}.$$

Máme tedy k dispozici ekvivalentní algoritmy pro odhadování.

# Komplikace

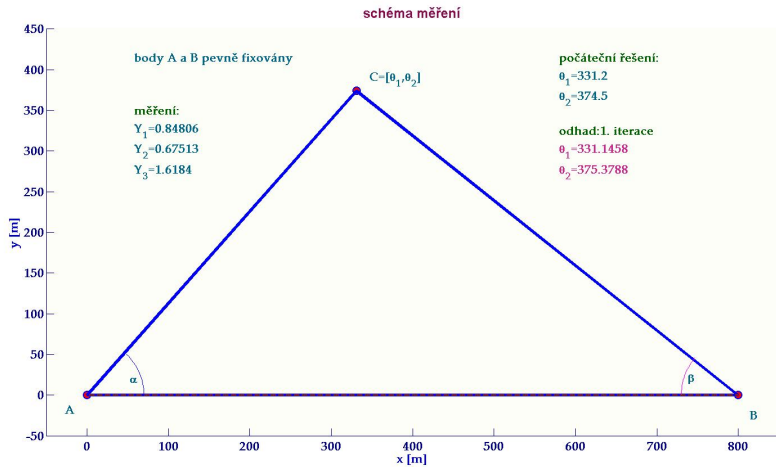
Bohužel jsme v situaci, kdy nesmíme po 2. etapě měření měnit odhad z 1. etapy měření — a to z důvodů legislativních a finančních. Uvedené tři odhady nelze většinou použít.

# Komplikace

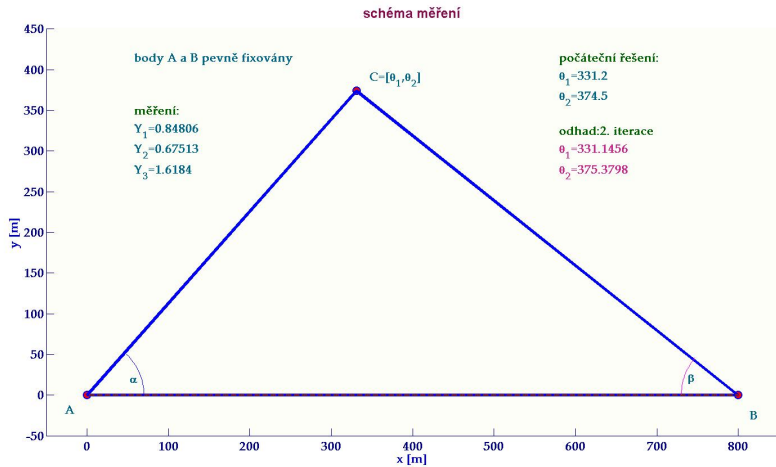
Je tedy třeba splnit jiné podmínky  $\mathbf{a} + \mathbf{C}\hat{\Theta} + \mathbf{B}\tilde{\beta} = \mathbf{0}$ , protože odhad  $\hat{\Theta}$  nelze zaměnit za  $\hat{\hat{\Theta}}$ .

Odhad  $\tilde{\beta}$ , který tuto podmínku splní, nazýváme standardní odhad.

# Příklad

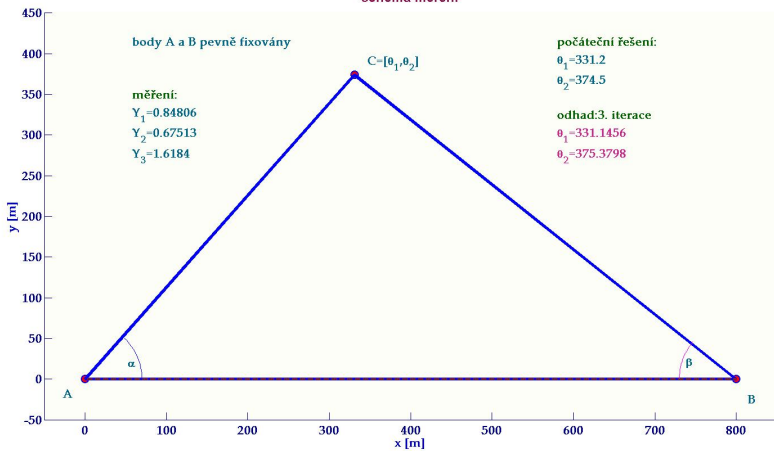


# Příklad



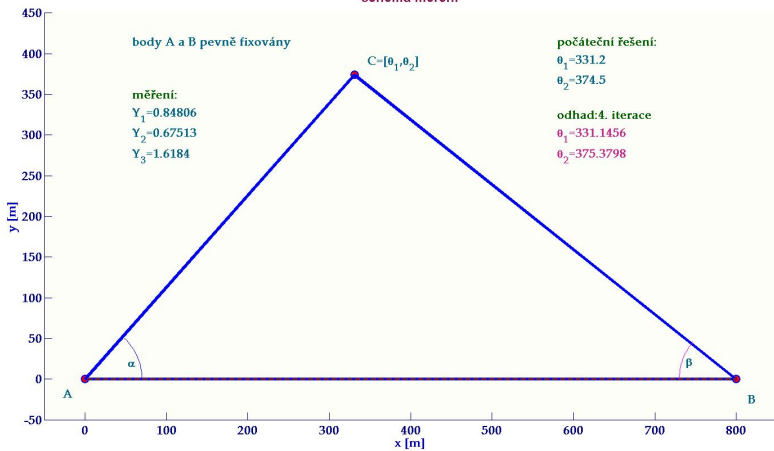
# Příklad

schéma měření



# Příklad

schéma měření



# Příklad

Model měření lze popsat

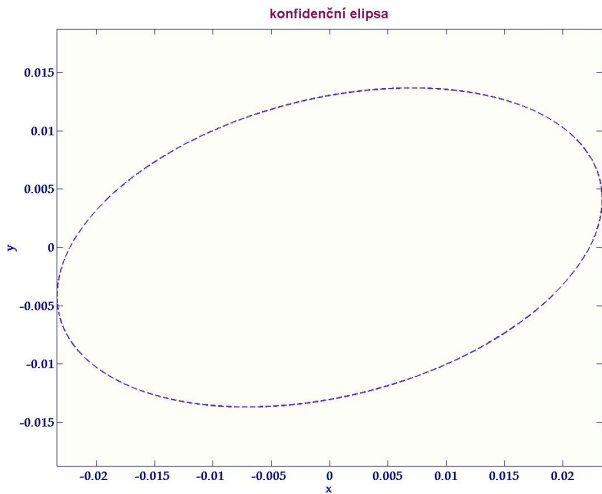
$$\mathbf{Y}_3 \sim N_3 \left[ \begin{pmatrix} \alpha \\ \beta \\ \gamma \end{pmatrix}, \Sigma \right] = N_3 \left[ \begin{pmatrix} \arctan \left( \frac{\theta_6 - \theta_2}{\theta_5 - \theta_1} \right) - \arctan \left( \frac{\theta_4 - \theta_2}{\theta_3 - \theta_1} \right) \\ \arctan \left( \frac{\theta_3 - \theta_5}{\theta_4 - \theta_6} \right) - \arctan \left( \frac{\theta_3 - \theta_1}{\theta_4 - \theta_2} \right) \\ \pi - \arctan \left( \frac{\theta_6 - \theta_4}{\theta_3 - \theta_5} \right) - \arctan \left( \frac{\theta_6 - \theta_2}{\theta_5 - \theta_1} \right) \end{pmatrix}, \Sigma \right],$$

kde

$$\Sigma = \begin{pmatrix} (5'')^2 & 0 & 0 \\ 0 & (5'')^2 & 0 \\ 0 & 0 & (5'')^2 \end{pmatrix}.$$

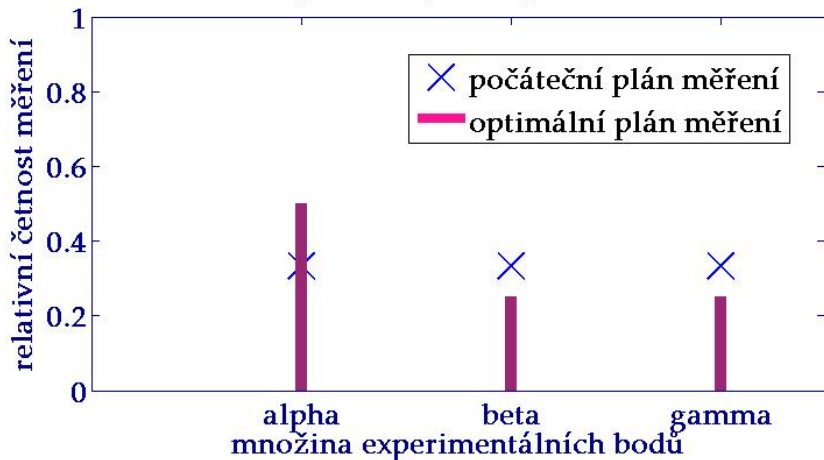


# Příklad



# Vhodná strategie opakovaného měření

D-optimální plán experimentu



# Studovaný geodetický problém

Jakýkoli nový objekt (např. budova, přehrada, tunel, jaderná elektrárna, atd.) musí být popsán ve státním souřadnicovém systému. Často může nastat situace, kdy je přesnost stávajících bodů ve státním systému mnohem nižší než přesnost vnitřních souřadnic objektu. Problém je zařadit nový objekt do státní sítě a nepokazit přesnost charakteristických bodů nového objektu v naší vnitřní síti.

# Studovaný geodetický problém

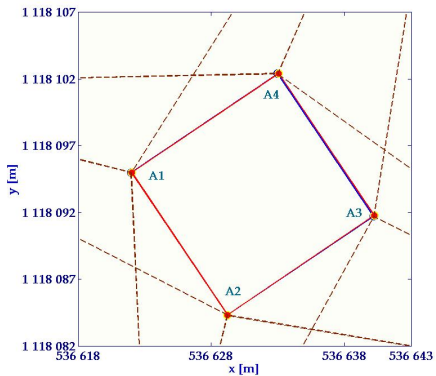
Mějme dva souřadnicové systémy ve 2D.

První z nich je státní souřadnicový systém bodů v okolí našeho nově zaměřovaného objektu.

Druhý souřadnicový systém je vnitřní systém objektu. Souřadnice bodů objektu v tomto systému jsou odhadovány mnohem přesněji než souřadnice ve státním systému.

Problém je najít nové souřadnice vnitřních bodů a zároveň nepokazit vnitřní přesnost bodů zaměřovaného objektu.

# Studovaný geodetický problém



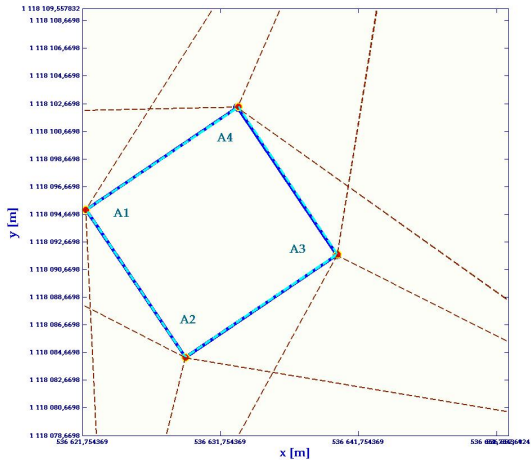
# Studovaný geodetický problém

Nechť  $\mathbf{a} = (\mathbf{a}'_1, \dots, \mathbf{a}'_k)'$  je souřadnicový vektor charakteristických bodů  $A_1, \dots, A_k$ , nového objektu v našem vnitřním systému,  $\mathbf{a}_i$  je dvourozměrný vektor  $i$ -tého charakteristického bodu  $A_i$ ,  $i = 1, \dots, k$ . Souřadnice těchto bodů ve státním systému označíme  $\mathbf{b}$ .

Nechť  $\hat{\Theta}$  je odhad státních souřadnic bodů  $C_1, \dots, C_N$ , v sousedství nového objektu, který nám umožňuje určit nové státní souřadnice bodů  $A_1, \dots, A_k$ .

Zápisem  $\hat{\Theta} \sim_{2N} (\Theta, \mathbf{W})$  rozumíme, že střední hodnota  $E(\hat{\Theta})$  odhadu  $\hat{\Theta}$  je  $\Theta$  a jeho kovarianční matice je  $\mathbf{W}$ .

# Studovaný geodetický problém



# Studovaný geodetický problém

Nejlepší lineární odhad  $\mathbf{b}$  v modelu

$$\begin{pmatrix} \hat{\Theta} \\ \mathbf{Y} \end{pmatrix} \sim_{2N+n} \left[ \begin{pmatrix} \mathbf{I}, & \mathbf{0} \\ \mathbf{D}, & \mathbf{F} \end{pmatrix} \begin{pmatrix} \Theta \\ \mathbf{b} \end{pmatrix}, \begin{pmatrix} \mathbf{W}, & \mathbf{0} \\ \mathbf{0}, & \Sigma \end{pmatrix} \right]$$

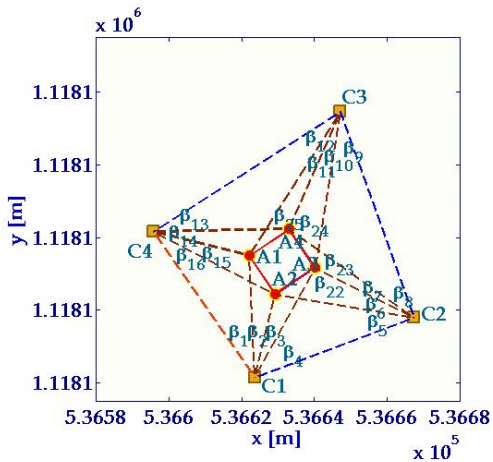
je

$$\tilde{\mathbf{b}} = [\mathbf{F}'(\Sigma + \mathbf{D}\mathbf{W}\mathbf{D}')^{-1}\mathbf{F}]^{-1}\mathbf{F}'(\Sigma + \mathbf{D}\mathbf{W}\mathbf{D}')^{-1}(\mathbf{Y} - \mathbf{D}\hat{\Theta}),$$

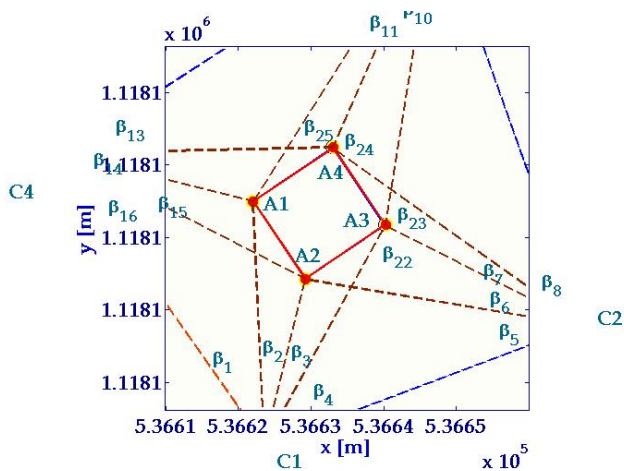
$$\text{Var}(\tilde{\mathbf{b}}) = [\mathbf{F}'(\Sigma + \mathbf{D}\mathbf{W}\mathbf{D}')^{-1}\mathbf{F}]^{-1}.$$



# Studovaný geodetický problém



# Studovaný geodetický problém



# Studovaný geodetický problém

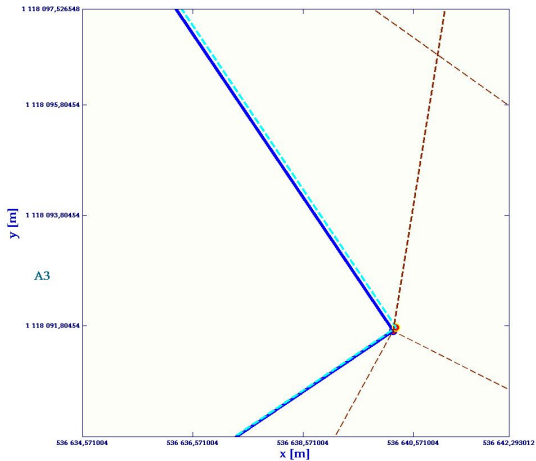
Předběžný odhad  $\tilde{\mathbf{b}}_i$  z  $\mathbf{b}_i$  je založen na pozorování vektoru  $\mathbf{Y} \sim_n (\mathbf{D}\Theta + \mathbf{F}\mathbf{b}, \Sigma)$ , na vektoru  $\hat{\Theta}$  s kovarianční maticí  $\mathbf{W}$ . Kovarianční matice  $\Sigma$  nemusí splňovat požadavky na přesnost souřadnic ve vnitřním systému, nicméně splňuje požadavek na přesnost státních souřadnic.

# Studovaný geodetický problém

Výsledky pomocí standardního odhadu:

| $\tilde{\mathbf{b}}$ | $\delta\tilde{\mathbf{b}}$ |
|----------------------|----------------------------|
| 536622.0192          | 0.0192                     |
| 1118095.0060         | 0.0060                     |
| 536629.2125          | -0.0011                    |
| 1118084.3158         | 0.0104                     |
| 536640.2544          | 0.0561                     |
| 1118091.7737         | 0.0590                     |
| 536633.0712          | 0.0865                     |
| 1118102.4382         | 0.0289                     |

# Studovaný geodetický problém



# Studovaný geodetický problém

Tento odhad  $\tilde{\mathbf{b}}$ , který je přibližný, nelze považovat za dobrý odhad státních souřadnic vektoru, neboť jejich kovarianční matice  $[\mathbf{F}'(\boldsymbol{\Sigma} + \mathbf{D}\mathbf{W}\mathbf{D}')^{-1}\mathbf{F}]^{-1}$  může mít nepřípustné disperze odhadu

$$\tilde{\mathbf{b}}_i = \begin{pmatrix} \tilde{b}_{i,1} \\ \tilde{b}_{i,2} \end{pmatrix}, \quad i = 1, \dots, k.$$

# Studovaný geodetický problém

Určíme posun a rotaci vnitřního systému do státní sítě takovým způsobem, aby nové polohy bodů  $P_1, \dots, P_k$  byly určeny vztahem

$$\widehat{\mathbf{b}}_i = \begin{pmatrix} \widehat{t}_1 \\ \widehat{t}_2 \end{pmatrix} + \begin{pmatrix} \widehat{\cos \varphi}, & \widehat{\sin \varphi} \\ -\widehat{\sin \varphi}, & \widehat{\cos \varphi} \end{pmatrix} \mathbf{a}_i, \quad i = 1, \dots, k,$$

když posun  $\begin{pmatrix} \widehat{t}_1 \\ \widehat{t}_2 \end{pmatrix}$  a matice rotace  $\begin{pmatrix} \widehat{\cos \varphi}, & \widehat{\sin \varphi} \\ -\widehat{\sin \varphi}, & \widehat{\cos \varphi} \end{pmatrix}$  budou optimální ve smyslu metody nejmenších čtverců.

Tato transformace je lineární transformace, která nemění vzdálenost mezi body  $P_i$  a  $P_j$  nového objektu.

# Studovaný geodetický problém

Nechť

$$\mathbf{T}_i = \begin{pmatrix} 1, & 0, & a_{i,1}, & a_{i,2} \\ 0, & 1, & -a_{i,2}, & a_{i,1} \end{pmatrix}, \quad i = 1, \dots, k,$$

$$c = \cos \varphi = c_0 + \delta c, \quad s = \sin \varphi = s_0 + \delta s, \quad t_1 = t_{1,0} + \delta t_1, \quad t_2 = t_{2,0} + \delta t_2,$$

kde  $t_{1,0}$ ,  $t_{2,0}$ ,  $c_0$ ,  $s_0$  jsou přibližné hodnoty.



# Studovaný geodetický problém

Získáme následující model s podmínkami typu I:

$$\beta = \begin{pmatrix} \tilde{\mathbf{b}}_1 \\ \vdots \\ \tilde{\mathbf{b}}_k \end{pmatrix} - \begin{pmatrix} \mathbf{T}_1 \\ \vdots \\ \mathbf{T}_k \end{pmatrix} \begin{pmatrix} t_{1,0} \\ t_{2,0} \\ c_0 \\ s_0 \end{pmatrix}$$
$$\sim 2k \left[ \begin{pmatrix} \mathbf{T}_1 \\ \vdots \\ \mathbf{T}_k \end{pmatrix} \begin{pmatrix} \delta t_1 \\ \delta t_2 \\ \delta c \\ \delta s \end{pmatrix}, [\mathbf{F}'(\boldsymbol{\Sigma} + \mathbf{DWD}')^{-1}\mathbf{F}]^{-1} \right], \quad (3)$$

s podmínkami

$$c_0\delta c + s_0\delta s = 0$$

(výraz  $(\delta c)^2 + (\delta s)^2$  je zanedbán).

# Studovaný geodetický problém

Označme

$$\mathbf{S} = [\mathbf{F}'(\boldsymbol{\Sigma} + \mathbf{D}\mathbf{W}\mathbf{D}')^{-1}\mathbf{F}]^{-1}, \quad \mathbf{X}_2 = \begin{pmatrix} \mathbf{T}_1 \\ \vdots \\ \mathbf{T}_k \end{pmatrix}.$$

# Studovaný geodetický problém

Nejlepší lineární nestranný odhad  $t_1$ ,  $t_2$ ,  $\cos \varphi$ ,  $\sin \varphi$  je

$\hat{t}_1 = t_{1,0} + \hat{\delta t}_1$ ,  $\hat{t}_2 = t_{2,0} + \hat{\delta t}_2$ ,  $\widehat{\cos \varphi} = c_0 + \hat{\delta c}$ ,  $\widehat{\sin \varphi} = s_0 + \hat{\delta s}$ , kde

$$\begin{pmatrix} \hat{\delta t}_1 \\ \hat{\delta t}_2 \\ \hat{\delta c} \\ \hat{\delta s} \end{pmatrix} = \mathbf{C}^{-1} \mathbf{X}'_2 \mathbf{S}^{-1} \boldsymbol{\beta} - \mathbf{C}^{-1} \mathbf{B}' (\mathbf{B} \mathbf{C}^{-1} \mathbf{B}')^{-1} \mathbf{B} \mathbf{C}^{-1} \mathbf{X}'_2 \mathbf{S}^{-1} \boldsymbol{\beta},$$

$$\mathbf{C} = \mathbf{X}'_2 \mathbf{S}^{-1} \mathbf{X}_2, \quad \mathbf{B} = (0, 0, c_0, s_0),$$

$$\text{Var} \begin{pmatrix} \hat{\delta t}_1 \\ \hat{\delta t}_2 \\ \hat{\delta c} \\ \hat{\delta s} \end{pmatrix} = \mathbf{C}^{-1} - \mathbf{C}^{-1} \mathbf{B}' (\mathbf{B} \mathbf{C}^{-1} \mathbf{B}')^{-1} \mathbf{B} \mathbf{C}^{-1} = \mathbf{V}.$$

# Studovaný geodetický problém

Výsledná poloha bodu  $P_i$  ve státním souřadnicovém systému je dána vektorem

$$\hat{\mathbf{b}} = \begin{pmatrix} \hat{t}_1 & 0 & \widehat{\cos \varphi} & \widehat{\sin \varphi} \\ 0 & \hat{t}_2 & -\widehat{\sin \varphi} & \widehat{\cos \varphi} \end{pmatrix} \mathbf{a}_i = \mathbf{T}_i \begin{pmatrix} \hat{t}_1 \\ \hat{t}_2 \\ \widehat{\cos \varphi} \\ \widehat{\sin \varphi} \end{pmatrix}, \quad i = 1, \dots, k.$$

Výraz pro  $\hat{\mathbf{b}}_i$  lze přepsat jako

$$\begin{aligned} \hat{\mathbf{b}}_i &= \mathbf{T}_i \left\{ \mathbf{I} - \mathbf{C}^{-1} \mathbf{B}' [\mathbf{B} \mathbf{C}^{-1} \mathbf{B}']^{-1} \mathbf{B} \right\} \mathbf{C}^{-1} \mathbf{X}_2 \mathbf{S}^{-1} (\tilde{\mathbf{b}} - \mathbf{b}_0) = \\ &= \mathbf{T}_i \left\{ \mathbf{I} - \mathbf{C}^{-1} \mathbf{B}' [\mathbf{B} \mathbf{C}^{-1} \mathbf{B}']^{-1} \mathbf{B} \right\} \mathbf{C}^{-1} \mathbf{X}'_2 \mathbf{F}' (\boldsymbol{\Sigma} + \mathbf{D} \mathbf{W} \mathbf{D}')^{-1} (\mathbf{Y} - \mathbf{D} \hat{\boldsymbol{\Theta}}). \end{aligned}$$

# Studovaný geodetický problém

Nechť

$$\mathbf{Z}_i = \mathbf{T}_i \left\{ \mathbf{I} - \mathbf{C}^{-1} \mathbf{B}' [\mathbf{B} \mathbf{C}^{-1} \mathbf{B}']^{-1} \mathbf{B} \right\} \mathbf{C}^{-1} \mathbf{X}'_2 \mathbf{F}' (\boldsymbol{\Sigma} + \mathbf{D} \mathbf{W} \mathbf{D}')^{-1}.$$

Pak

$$\text{cov}(\widehat{\boldsymbol{\Theta}}, \widehat{\mathbf{b}}_i) = -\mathbf{W} \mathbf{D}' \mathbf{Z}'_i, \quad \text{cov}(\widehat{\mathbf{b}}_i, \widehat{\mathbf{b}}_j) = \mathbf{T}_i \mathbf{V} \mathbf{T}'_j.$$

Tedy

$$\text{Var} \begin{pmatrix} \widehat{\boldsymbol{\Theta}} \\ \widehat{\mathbf{b}}_1 \\ \vdots \\ \widehat{\mathbf{b}}_k \end{pmatrix} = \begin{pmatrix} \mathbf{W}, & -\mathbf{W} \mathbf{D}' \mathbf{Z}'_1, & \dots, & -\mathbf{W} \mathbf{D}' \mathbf{Z}'_k \\ -\mathbf{Z}_1 \mathbf{D} \mathbf{W}, & \mathbf{T}_1 \mathbf{V} \mathbf{T}'_1, & \dots, & \mathbf{T}_1 \mathbf{V} \mathbf{T}'_k \\ \dots\dots\dots & \dots\dots\dots & \dots\dots\dots & \dots\dots\dots \\ -\mathbf{Z}_k \mathbf{D} \mathbf{W}, & \mathbf{T}_k \mathbf{V} \mathbf{T}'_1, & \dots, & \mathbf{T}_k \mathbf{V} \mathbf{T}'_k \end{pmatrix}.$$

# Jiné přístupy pro řešení problému

## H-optimální odhady, viz



Kubáček, L., Kubáčková L.: *Dvouetapové sítě s podmínkami typu I a II*. In. Sborník příspěvků a spolupracovníků k devadesátinám pana profesora Josefa Vykutíla. (Ed. D. Dušátko), Praha – Brno, Vojenský zeměpisný ústav Praha 2002, 58–72.



Marek, J.: *Estimation in connecting measurements*. Acta Universitas Palackianae, Fac. rer. nat., Mathematica (42) 2003, 69–86.



Marek, J.: *Estimation in connecting measurements with constraints of type II*. Acta Universitas Palackianae, Fac. rer. nat., Mathematica (43) 2004, 119–131.



Marek, J.: *A digger and a surveyor (From the series “A Statistician’s View on Measurement in the Czech and World Literature”)*. Folia Fac. Sci. Nat. Univ. Masaryk. Brunensis, Math. (15) 2004, 193–208.



Kubáček, L., Marek, J.: *Partial optimum estimator in two stage regression model with constraints and a problem of equivalence*. Math. Slovaca (55) 2005, 477–494.



Korbašová, M., Marek, J.: *Connecting Measurements in Surveying and its Problems*. Proceedings of INGEO 2004 and FIG Regional Central and Eastern European Conference on Engineering Surveying, Bratislava, Slovakia, November 11–13, 2004.

# O jednom literárním problému

**Jaroslav Marek**

**Univerzita Palackého  
Přírodovědecká fakulta  
Katedra matematické analýzy  
a aplikací matematiky**

**Tř. 17. listopadu 12  
779 00 Olomouc**

**marek@inf.upol.cz**

*přednáška Robust 2010*

**5. 1. 2010**



# Jak najít poklad

*Je třeba rozluštit tajný kód.  
Je třeba mít mapu.*



# Tajný kód

53++!305))6\*;4826)4+.)4+);806\*;48!8'60))85;]8\*:+\*8!83(88)5\*!;  
46(;88\*96\*?;8)\*+(;485);5\*!2:\*+(;4956\*2(5\*-4)8'8\*; 4069285);)6  
!8)4++;1(+9;48081;8:8+1;48!85;4)485!528806\*81(+9;48;(88;4(+?3  
4;48)4+;161;;188;+?;

## Řešení – viz E.A.Poe: The Gold Bug

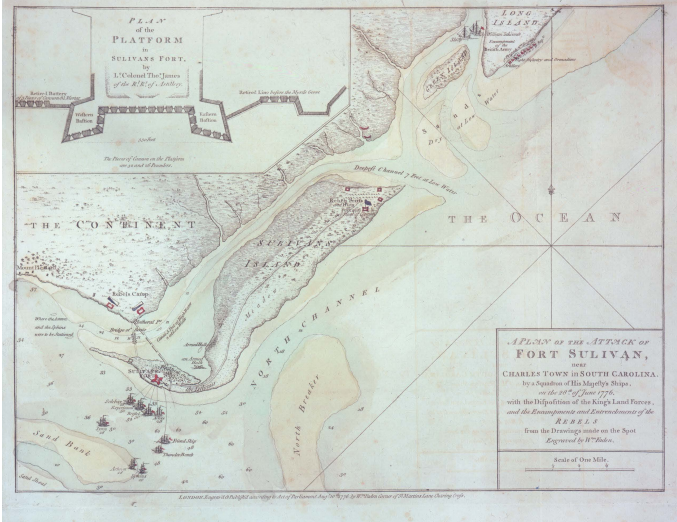
A good glass in the bishop's hostel in the devil's –twenty-one degrees and thirteen minutes –northeast and by north –main branch seventh limb east side –shoot from the left eye of the death's-head –a bee-line from the tree through the shot fifty feet out..

# Hledání stromu

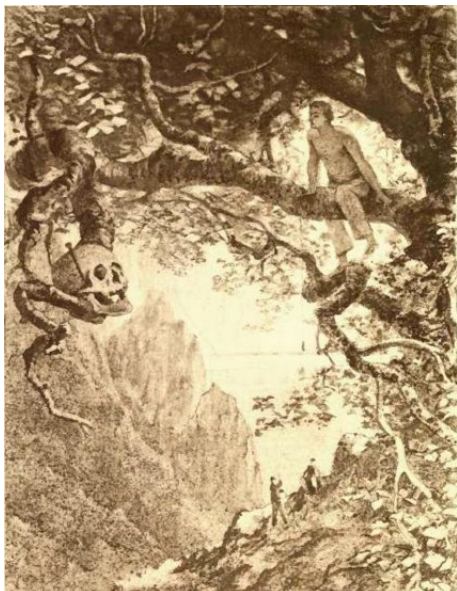


# Mapa — Sullivan's Island

Faden, William, Sullivan's Island Map, Part A: "A Plan of the Attack of Fort Sullivan..." (London, William Faden, 1776). Newberry Library.



Pak už zbývá jen vhodně realizovat měření



# Odpověď na zcela zásadní problém

V literatuře vůbec nebývá zkoumána otázka velikosti jámy, kterou je pro nalezení pokladu třeba vykopat.

# Odpověď na zcela zásadní problém

Odpověď poskytnu ve svém příspěvku na konferenci (hloubka jámy  
ale nebude řešena)

ODAM 2010  
15. 9. 2010 – 16. 9. 2010